

JTA
10 juin 2009

Gwenaël
GUILLAUME

Développement d'un modèle TLM pour la modélisation de la propagation acoustique en milieu urbain

Gwenaël GUILLAUME

Division ESAR, Section ARU

Directeur de thèse : Judicaël PICAUT (LCPC)

Co-directeur de thèse : Christophe AYRAULT (LAUM)

Comité de suivi : Guillaume DUTILLEUX (LRPC Strasbourg)
Isabelle SCHMICH (CSTB)

JTA
10 juin 2009Gwenaël
GUILLAUME

Contexte

Logiciels de
prévision

Objectifs

Contributions

Sommaire

Méthode TLM

Modélisation des
frontières

Conclusion

Limitations des logiciels de prévision acoustique

- basés sur des modèles énergétiques ou des notions géométriques ;
 - restreints aux hautes fréquences ;
 - applications en milieu ouvert (*i.e.* seulement quelques obstacles) ;
 - pas de dépendance temporelle ;
- ⇒ Ces logiciels ne sont pas réellement bien adaptés à la prévision acoustique en milieu urbain.

Méthodes temporelles (*e.g.* FDTD^a, TLM^b)

^aFinite-Difference Time-Domain method

^bTransmission Line Modeling

- basses et moyennes fréquences ;
- modélisation des phénomènes d'interférences ;
- paramètres dépendants du temps et de la fréquence ;
- description à la fois temporelle et fréquentielle.

JTA
10 juin 2009Gwenaël
GUILLAUME

Contexte

Logiciels de
prévision

Objectifs

Contributions

Sommaire

Méthode TLM

Modélisation des
frontières

Conclusion

Limitations des logiciels de prévision acoustique

- basés sur des modèles énergétiques ou des notions géométriques ;
 - restreints aux hautes fréquences ;
 - applications en milieu ouvert (*i.e.* seulement quelques obstacles) ;
 - pas de dépendance temporelle ;
- ⇒ Ces logiciels ne sont pas réellement bien adaptés à la prévision acoustique en milieu urbain.

Méthodes temporelles (*e.g.* FDTD^a, TLM^b)^a *Finite-Difference Time-Domain method*^b *Transmission Line Modeling*

- basses et moyennes fréquences ;
- modélisation des phénomènes d'interférences ;
- paramètres dépendants du temps et de la fréquence ;
- description à la fois temporelle et fréquentielle.

JTA
10 juin 2009Gwenaël
GUILLAUME

Contexte

Logiciels de
prévision

Objectifs

Contributions

Sommaire

Méthode TLM

Modélisation des
frontières

Conclusion

Objectif de la thèse : modélisation de la propagation acoustique en milieu urbain

- développement d'un modèle numérique original et générique

⇒ utilisation de la méthode TLM^a.

^a *Transmission Line Modeling*

État de l'art

- propagation en fluide homogène et non-dissipatif : implicite ;
- propagation en fluide dissipatif : absorption atmosphérique^a ;
- propagation en fluide inhomogène : effets météorologiques^b ;
- conditions aux frontières (parois) : coefficient de réflexion en pression ;
- conditions aux frontières (sol) : condition d'impédance^a ;
- conditions aux limites du domaine de calcul (ciel) : développement de TAYLOR du champ de pression^c.

^a J. HOFMANN et K. HEUTSCHI, *Applied Acoustics* (2007)

^b G. DUTILLEUX, *Wind Turbine Noise* (2007)

^c S. EL-MASRI et coll., *Proc. of the Int. Conf. on Speech and Language Processing* (1996)

JTA
10 juin 2009Gwenaël
GUILLAUME

Contexte

Logiciels de
prévision

Objectifs

Contributions

Sommaire

Méthode TLM

Modélisation des
frontières

Conclusion

Objectif de la thèse : modélisation de la propagation acoustique en milieu urbain

- développement d'un modèle numérique original et générique
- ⇒ utilisation de la méthode TLM^a.

^a *Transmission Line Modeling*

État de l'art

- propagation en fluide homogène et non-dissipatif : implicite ;
- propagation en fluide dissipatif : absorption atmosphérique^a ;
- propagation en fluide inhomogène : effets météorologiques^b ;
- conditions aux frontières (parois) : coefficient de réflexion en pression ;
- conditions aux frontières (sol) : condition d'impédance^a ;
- conditions aux limites du domaine de calcul (ciel) : développement de TAYLOR du champ de pression^c.

^aJ. HOFMANN et K. HEUTSCHI, *Applied Acoustics* (2007)

^bG. DUTILLEUX, *Wind Turbine Noise* (2007)

^cS. EL-MASRI et coll., *Proc. of the Int. Conf. on Speech and Language Processing* (1996)

JTA
10 juin 2009Gwenaël
GUILLAUME

Contexte

Logiciels de
prévision

Objectifs

Contributions

Sommaire

Méthode TLM

Modélisation des
frontières

Conclusion

Contributions

- proposition d'une formulation générale générique 2D/3D ;
- conditions aux frontières (sol et façades) :
⇒ nouvelle formulation d'une condition d'impédance ;
- conditions aux limites du domaine de calcul :
⇒ développement de couches absorbantes adaptées.

JTA
10 juin 2009Gwenaël
GUILLAUME

Contexte

Sommaire

Méthode TLM

Modélisation des
frontières

Conclusion

1 Méthode TLM

- Principe de la méthode TLM
- Propagation en milieu homogène et non-dissipatif
- Propagation en milieu inhomogène et dissipatif
- Analogie avec l'équation des ondes

2 Modélisation des frontières

- Condition d'impédance complexe
- Condition aux frontières absorbantes

3 Conclusion

- Application
- Perspectives

JTA
10 juin 2009Gwenaël
GUILLAUME

Contexte

Sommaire

Méthode TLM

Principe

Atmosphère
homogène et
non-dissipatifAtmosphère
inhomogène et
dissipatif

Equation des ondes

Modélisation des
frontières

Conclusion



Méthode TLM

- Principe de la méthode TLM
- Propagation en milieu homogène et non-dissipatif
- Propagation en milieu inhomogène et dissipatif
- Analogie avec l'équation des ondes



Modélisation des frontières

- Condition d'impédance complexe
- Condition aux frontières absorbantes



Conclusion

- Application
- Perspectives

JTA
10 juin 2009

 Gwenaël
GUILLAUME

Contexte

Sommaire

Méthode TLM

Principe

Atmosphère
homogène et
non-dissipatifAtmosphère
inhomogène et
dissipatif

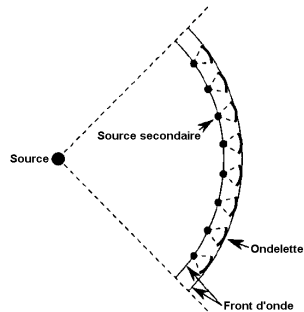
Equation des ondes

Modélisation des
frontières

Conclusion

Principe de HUYGENS (1690)

Un front d'onde peut être décomposé en un ensemble de sources secondaires émettant des ondelettes sphériques de fréquence, d'amplitude et de phase identiques.

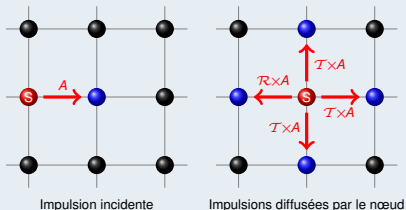


Adaptation numérique en électromagnétisme^a

^aP. JOHNS et R. BEURLE, *Proceedings IEEE* (1971)

- les sources secondaires sont assimilées à des nœuds ;
- la «diffusion» du champ entre nœuds est réalisée par l'intermédiaire de lignes de transmission.

Cas simple en 2D



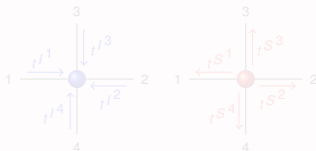
Coefficients de réflexion et de transmission nodaux :

$$\mathcal{R} = \frac{Z_T - Z_L}{Z_T + Z_L}, \quad \mathcal{R} < 0$$

$$\mathcal{T} = 1 + \mathcal{R} = \frac{2Z_T}{Z_T + Z_L}$$

 Z_T : impédance de la terminaison Z_L : impédance de la ligne de transmission incidente(ici, $Z_L = Z_0$ et $Z_T = Z_0/3$, donc $\mathcal{R} = -\frac{1}{2}$ et $\mathcal{T} = \frac{1}{2}$)

Cas général en 2D

● Relation matricielle : ${}_i\mathbf{S} = \mathbf{D} {}_i\mathbf{I}$,où ${}_i\mathbf{I} = [{}_iI^1, {}_iI^2, {}_iI^3, {}_iI^4]^T$, ${}_i\mathbf{S} = [{}_iS^1, {}_iS^2, {}_iS^3, {}_iS^4]^T$,

$$\text{et } \mathbf{D} = \begin{bmatrix} \mathcal{R} & \mathcal{T} & \mathcal{T} & \mathcal{T} \\ \mathcal{T} & \mathcal{R} & \mathcal{T} & \mathcal{T} \\ \mathcal{T} & \mathcal{T} & \mathcal{R} & \mathcal{T} \\ \mathcal{T} & \mathcal{T} & \mathcal{T} & \mathcal{R} \end{bmatrix}$$

JTA
10 juin 2009Gwenaël
GUILLAUME

Contexte

Sommaire

Méthode TLM

Principe

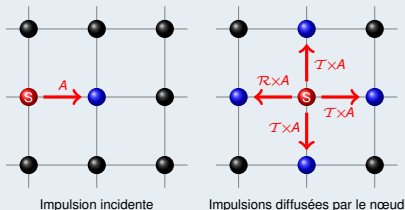
Atmosphère
homogène et
non-dissipatifAtmosphère
inhomogène et
dissipatif

Equation des ondes

Modélisation des
frontières

Conclusion

Cas simple en 2D



Coefficients de réflexion et de transmission nodaux :

$$\mathcal{R} = \frac{Z_T - Z_L}{Z_T + Z_L}, \quad \mathcal{R} < 0$$

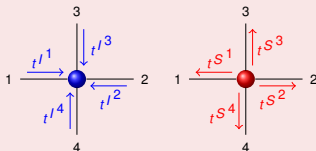
$$\mathcal{T} = 1 + \mathcal{R} = \frac{2Z_T}{Z_T + Z_L}$$

Z_T : impédance de la terminaison

Z_L : impédance de la ligne de transmission incidente

(ici, $Z_L = Z_0$ et $Z_T = Z_0/3$, donc $\mathcal{R} = -\frac{1}{2}$ et $\mathcal{T} = \frac{1}{2}$)

Cas général en 2D



● Relation matricielle : ${}_t\mathbf{S} = \mathbf{D} {}_t\mathbf{I}$,

où ${}_t\mathbf{I} = [{}_tI^1, {}_tI^2, {}_tI^3, {}_tI^4]^T$,

${}_t\mathbf{S} = [{}_tS^1, {}_tS^2, {}_tS^3, {}_tS^4]^T$,

$$\text{et } \mathbf{D} = \begin{bmatrix} \mathcal{R} & \mathcal{T} & \mathcal{T} & \mathcal{T} \\ \mathcal{T} & \mathcal{R} & \mathcal{T} & \mathcal{T} \\ \mathcal{T} & \mathcal{T} & \mathcal{R} & \mathcal{T} \\ \mathcal{T} & \mathcal{T} & \mathcal{T} & \mathcal{R} \end{bmatrix}$$

JTA
10 juin 2009
Gwenaël
GUILLAUME

Contexte

Sommaire

Méthode TLM

Principe

Atmosphère
homogène et
non-dissipatif

Atmosphère
inhomogène et
dissipatif

Equation des ondes

Modélisation des
frontières

Conclusion

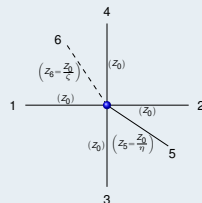
Modélisation en milieu inhomogène et dissipatif

Relation matricielle : ${}_t\mathbf{S}(i,j) = {}_t\mathbf{D}(i,j) {}_t\mathbf{I}(i,j)$,

$$\text{où } {}_t\mathbf{I}(i,j) = [{}_tI^1; {}_tI^2; {}_tI^3; {}_tI^4; {}_tI^5]^T,$$

$${}_t\mathbf{S}(i,j) = [{}_tS^1; {}_tS^2; {}_tS^3; {}_tS^4; {}_tS^5]^T,$$

$$\text{et } {}_t\mathbf{D}(i,j) = \frac{2}{{}_t\eta(i,j) + {}_t\zeta(i,j) + 4} \begin{bmatrix} a & 1 & 1 & 1 & \eta \\ 1 & a & 1 & 1 & \eta \\ 1 & 1 & a & 1 & \eta \\ 1 & 1 & 1 & a & \eta \\ 1 & 1 & 1 & 1 & b \end{bmatrix} (i,j)$$



$$\text{avec } {}_t a_{(i,j)} = - \left(\frac{{}_t\eta(i,j)}{2} + \frac{{}_t\zeta(i,j)}{2} + 1 \right) \quad \text{et} \quad {}_t b_{(i,j)} = \frac{{}_t\eta(i,j)}{2} - \left(\frac{{}_t\zeta(i,j)}{2} + 2 \right).$$

Diffusion dans le réseau de lignes de transmission

Lois de connexion entre nœuds :

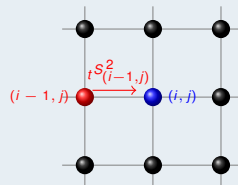
$${}_{t+\Delta t}I_{(i,j)}^1 = {}_tS_{(i-1,j)}^2$$

$${}_{t+\Delta t}I_{(i,j)}^2 = {}_tS_{(i+1,j)}^1$$

$${}_{t+\Delta t}I_{(i,j)}^3 = {}_tS_{(i,j-1)}^4$$

$${}_{t+\Delta t}I_{(i,j)}^4 = {}_tS_{(i,j+1)}^3$$

$${}_{t+\Delta t}I_{(i,j)}^5 = {}_tS_{(i,j)}^5$$



Définition de la pression nodale

JTA
10 juin 2009
Gwenaël
GUILLAUME

Contexte

Sommaire

Méthode TLM

Principe

Atmosphère
homogène et
non-dissipatifAtmosphère
inhomogène et
dissipatif

Equation des ondes

Modélisation des
frontières

Conclusion

Diffusion dans le réseau de lignes de transmission

Lois de connexion entre nœuds :

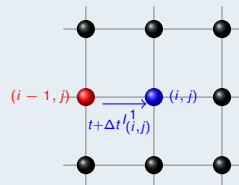
$${}_{t+\Delta t}I_{(i,j)}^1 = {}_tS_{(i-1,j)}^2$$

$${}_{t+\Delta t}I_{(i,j)}^2 = {}_tS_{(i+1,j)}^1$$

$${}_{t+\Delta t}I_{(i,j)}^3 = {}_tS_{(i,j-1)}^4$$

$${}_{t+\Delta t}I_{(i,j)}^4 = {}_tS_{(i,j+1)}^3$$

$${}_{t+\Delta t}I_{(i,j)}^5 = {}_tS_{(i,j)}^5$$



Définition de la pression nodale

JTA
10 juin 2009
Gwenaël
GUILLAUME

Contexte

Sommaire

Méthode TLM

Principe

Atmosphère
homogène et
non-dissipatifAtmosphère
inhomogène et
dissipatif

Equation des ondes

Modélisation des
frontières

Conclusion

Diffusion dans le réseau de lignes de transmission

Lois de connexion entre nœuds :

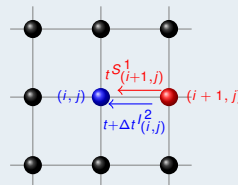
$$t+\Delta t I_{(i,j)}^1 = t S_{(i-1,j)}^2$$

$$t+\Delta t I_{(i,j)}^2 = t S_{(i+1,j)}^1$$

$$t+\Delta t I_{(i,j)}^3 = t S_{(i,j-1)}^4$$

$$t+\Delta t I_{(i,j)}^4 = t S_{(i,j+1)}^3$$

$$t+\Delta t I_{(i,j)}^5 = t S_{(i,j)}^5$$



Définition de la pression nodale

JTA
10 juin 2009
Gwenaël
GUILLAUME

Contexte

Sommaire

Méthode TLM

Principe

Atmosphère
homogène et
non-dissipatifAtmosphère
inhomogène et
dissipatif

Equation des ondes

Modélisation des
frontières

Conclusion

Diffusion dans le réseau de lignes de transmission

Lois de connexion entre nœuds :

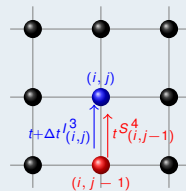
$${}_{t+\Delta t}I_{(i,j)}^1 = {}_tS_{(i-1,j)}^2$$

$${}_{t+\Delta t}I_{(i,j)}^2 = {}_tS_{(i+1,j)}^1$$

$${}_{t+\Delta t}I_{(i,j)}^3 = {}_tS_{(i,j-1)}^4$$

$${}_{t+\Delta t}I_{(i,j)}^4 = {}_tS_{(i,j+1)}^3$$

$${}_{t+\Delta t}I_{(i,j)}^5 = {}_tS_{(i,j)}^5$$



Définition de la pression nodale

JTA
10 juin 2009
Gwenaël
GUILLAUME

Contexte

Sommaire

Méthode TLM

Principe

Atmosphère
homogène et
non-dissipatif

Atmosphère
inhomogène et
dissipatif

Equation des ondes

Modélisation des
frontières

Conclusion

Diffusion dans le réseau de lignes de transmission

Lois de connexion entre nœuds :

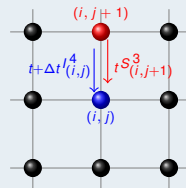
$$t+\Delta t I_{(i,j)}^1 = tS_{(i-1,j)}^2$$

$$t+\Delta t I_{(i,j)}^2 = tS_{(i+1,j)}^1$$

$$t+\Delta t I_{(i,j)}^3 = tS_{(i,j-1)}^4$$

$$t+\Delta t I_{(i,j)}^4 = tS_{(i,j+1)}^3$$

$$t+\Delta t I_{(i,j)}^5 = tS_{(i,j)}^5$$



Définition de la pression nodale

$$p_{i,j} = \frac{2}{t+\Delta t} \left(\sum_{k=1}^4 I_{(i,j)}^k + p_{i,j}^5 \right)$$

JTA
10 juin 2009

Gwenaël
GUILLAUME

Contexte

Sommaire

Méthode TLM

Principe

Atmosphère
homogène et
non-dissipatif

Atmosphère
inhomogène et
dissipatif

Equation des ondes

Modélisation des
frontières

Conclusion

Diffusion dans le réseau de lignes de transmission

Lois de connexion entre nœuds :

$$t+\Delta t I_{(i,j)}^1 = t S_{(i-1,j)}^2$$

$$t+\Delta t I_{(i,j)}^2 = t S_{(i+1,j)}^1$$

$$t+\Delta t I_{(i,j)}^3 = t S_{(i,j-1)}^4$$

$$t+\Delta t I_{(i,j)}^4 = t S_{(i,j+1)}^3$$

$$t+\Delta t I_{(i,j)}^5 = t S_{(i,j)}^5$$

Définition de la pression nodale

$$p_{i,j} = \frac{1}{\rho_0 c_0} \left(\sum_{k=1}^2 I_{i,j}^k + \sum_{k=3}^5 I_{i,j}^k \right)$$

JTA
10 juin 2009Gwenaël
GUILLAUME

Contexte

Sommaire

Méthode TLM

Principe

Atmosphère
homogène et
non-dissipatifAtmosphère
inhomogène et
dissipatif

Equation des ondes

Modélisation des
frontières

Conclusion

Diffusion dans le réseau de lignes de transmission

Lois de connexion entre nœuds :

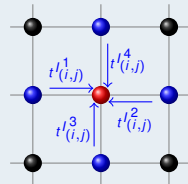
$$t_{+\Delta t} l_{(i,j)}^1 = t S_{(i-1,j)}^2$$

$$t_{+\Delta t} l_{(i,j)}^2 = t S_{(i+1,j)}^1$$

$$t_{+\Delta t} l_{(i,j)}^3 = t S_{(i,j-1)}^4$$

$$t_{+\Delta t} l_{(i,j)}^4 = t S_{(i,j+1)}^3$$

$$t_{+\Delta t} l_{(i,j)}^5 = t S_{(i,j)}^5$$



Définition de la pression nodale

$$t p_{(i,j)} = \frac{2}{t \eta_{(i,j)} + t \zeta_{(i,j)} + 4} \left(\sum_{n=1}^4 t l_{(i,j)}^n + t \eta_{(i,j)} t l_{(i,j)}^5 \right).$$

 JTA
10 juin 2009

 Gwenaël
GUILLAUME

Contexte

Sommaire

Méthode TLM

Principe

 Atmosphère
homogène et
non-dissipatif

 Atmosphère
inhomogène et
dissipatif

Equation des ondes

 Modélisation des
frontières

Conclusion

Analogie avec l'équation des ondes

- **Combinaison de la relation matricielle, des lois de connexion et de la définition de la pression nodale :**

$$\frac{\eta(i,j) + 4}{2} \frac{\Delta t^2}{\Delta l^2} \frac{\overbrace{t+\Delta t P(i,j) - 2tP(i,j) + t-\Delta t P(i,j)}^{\partial_{tt}^2 P(i,j)}}{\Delta t^2} + \zeta(i,j) \frac{\Delta t}{\Delta l^2} \frac{\overbrace{t+\Delta t P(i,j) - t-\Delta t P(i,j)}}{2 \Delta t} = \frac{\overbrace{tP(i+1,j) - 2tP(i,j) + tP(i-1,j)}}{\Delta l^2} + \frac{\overbrace{tP(i,j+1) - 2tP(i,j) + tP(i,j-1)}}{\Delta l^2} = \partial_{xx}^2 P(i,j) + \partial_{yy}^2 P(i,j)$$

- **Équation des ondes en milieu inhomogène et dissipatif :**

$$\left[\Delta + \left(\frac{\omega^2}{c_{\text{TLM}}^2} - j \frac{\omega}{c_0} \frac{\zeta(i,j)}{\Delta l} \right) \right] tP(i,j) = 0,$$

$$\text{avec } c_{\text{TLM}} = \sqrt{\frac{2}{t\eta(i,j)+4}} c_0.$$

 JTA
10 juin 2009

 Gwenaël
GUILLAUME

Contexte

Sommaire

Méthode TLM

Principe

 Atmosphère
homogène et
non-dissipatif

 Atmosphère
inhomogène et
dissipatif

Équation des ondes

 Modélisation des
frontières

Conclusion

JTA
10 juin 2009Gwenaël
GUILLAUME

Contexte

Sommaire

Méthode TLM

Modélisation des
frontièresCondition
d'impédanceConditions
absorbantes

Conclusion



Méthode TLM

- Principe de la méthode TLM
- Propagation en milieu homogène et non-dissipatif
- Propagation en milieu inhomogène et dissipatif
- Analogie avec l'équation des ondes



2 Modélisation des frontières

- Condition d'impédance complexe
- Condition aux frontières absorbantes



Conclusion

- Application
- Perspectives

JTA
10 juin 2009

 Gwenaël
GUILLAUME

Contexte

Sommaire

Méthode TLM

 Modélisation des
frontières
Condition
d'impédanceConditions
absorbantes

Conclusion

Modélisation des frontières dans un modèle TLM : cas du sol

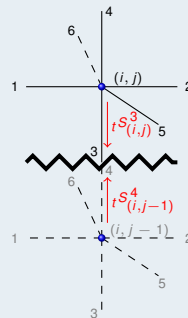
- Définition de la pression sur la frontière :

$$p \left(t + \frac{\Delta t}{2} \right) = {}_t S_{(i,j)}^3 + {}_t S_{(i,j-1)}^4;$$

- Définition de la vitesse particulière normale à la frontière :

$$v_n \left(t + \frac{\Delta t}{2} \right) = \frac{{}_t S_{(i,j)}^3 - {}_t S_{(i,j-1)}^4}{\rho_0 c}$$

$$c_{\text{TLM}} = \sqrt{\frac{2}{t\eta(i,j) + 4}} c_0 \Rightarrow c = \sqrt{\frac{t\eta(i,j) + 4}{2}} c_0$$



JTA
10 juin 2009

 Gwenaël
GUILLAUME

Contexte

Sommaire

Méthode TLM

Modélisation des
frontièresCondition
d'impédanceConditions
absorbantes

Conclusion

Frontière définie par une condition d'impédance complexe

Définition de la pression sur la frontière :

- dans le domaine fréquentiel :

$$P_{(b)}(\omega) = Z(\omega) \cdot V_{n(b)}(\omega);$$

- dans le domaine temporel :

$$p_{(b)}(t) = z(t) * v_{n(b)}(t) = \int_{-\infty}^{+\infty} z(t') \cdot v_{n(b)}(t - t') dt',$$

$$\text{où } p_{(b)}(t) = \mathfrak{F}^{-1} [P_{(b)}(\omega)],$$

$$v_{n(b)}(t) = \mathfrak{F}^{-1} [V_{n(b)}(\omega)],$$

$$z(t) = \mathfrak{F}^{-1} [Z(\omega)].$$

JTA
10 juin 2009

 Gwenaël
GUILLAUME

Contexte

Sommaire

Méthode TLM

Modélisation des
frontièresCondition
d'impédanceConditions
absorbantes

Conclusion

Représentation de l'impédance par une somme de systèmes linéaires du 1^{er} ordre

 Y. REYMER *et coll.*, 12th AIAA/CEAS (2006)

Écriture de l'impédance :

- dans le domaine de FOURIER (réponses de K systèmes linéaires) :

$$Z(\omega) = \sum_{k=1}^K \frac{a_k}{\gamma_k - j\omega},$$

où γ_k sont des pôles réels ($\gamma_k > 0$) ;

- dans le domaine temporel (somme de K réponses impulsionnelles) :

$$z(t) = \sum_{k=1}^K a_k e^{-\gamma_k t} H(t),$$

où $H(t)$ est la fonction de HEAVISIDE.

Application au modèle d'impédance de ZWIKKER et KOSTEN

- **Modèle d'impédance de ZWIKKER et KOSTEN (1949) :**

$$Z(\omega) = Z_{\infty} \sqrt{\frac{1 - j\omega\tau}{-j\omega\tau}},$$

avec $\tau = \frac{\rho_0 q^2 \gamma}{R_S \Omega}$ une constante de temps

et $Z_{\infty} = \frac{\rho_0 c_0 q}{\Omega}$ l'impédance à la limite $\omega\tau \rightarrow \infty$

(R_S : résistance au passage de l'air, q : tortuosité et Ω : porosité).

- **Transposition dans le domaine temporel (OSTASHEV *et coll.* - 2007) :**

$$z(t) = Z_{\infty} \left[\delta(t) + \frac{1}{\tau} f(\bar{t}) \right], \quad \text{où } \bar{t} = t/\tau.$$

- **Approximation de la réponse impulsionnelle $f(\bar{t})$:**

$$f(\bar{t}) = \frac{e^{-\bar{t}/2}}{2} \left[I_1\left(\frac{\bar{t}}{2}\right) + I_0\left(\frac{\bar{t}}{2}\right) \right] H(\bar{t}) = \sum_{k=1}^K a_k e^{-\gamma_k \bar{t}} H(\bar{t}).$$

JTA
10 juin 2009

 Gwenaël
GUILLAUME

Contexte

Sommaire

Méthode TLM

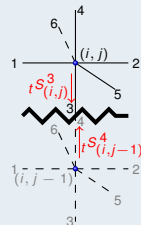
Modélisation des
frontièresCondition
d'impédanceConditions
absorbantes

Conclusion

Pression sur la frontière \Rightarrow méthode de convolution récursive

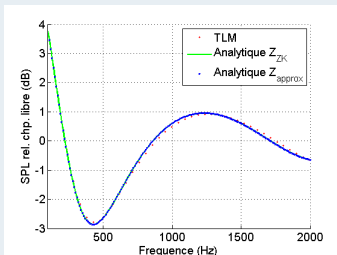
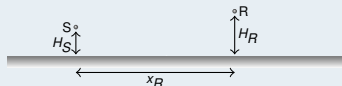
$$\underbrace{p_{(b)}(t)}_{tS_{(i,j)}^3 + tS_{(i,j-1)}^4} = \underbrace{z(t)}_{Z_\infty \left[\delta(t) + \frac{1}{\tau} \sum_{k=1}^K a_k e^{-\gamma_k t} H(t) \right]} * \underbrace{v_{n(b)}(t)}_{\frac{tS_{(i,j)}^3 - tS_{(i,j-1)}^4}{\rho_0 c}}$$

\Rightarrow calcul de l'impulsion diffusée $tS_{(i,j-1)}^4$ par le nœud virtuel.



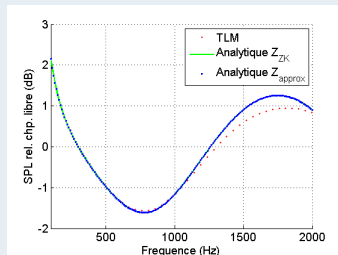
Sol plan homogène : modèle d'impédance de ZWIKKER et KOSTEN

- source sonore : impulsion gaussienne à $f=1500$ Hz ;
- discrétisation spatiale : $\Delta L = 2$ cm ;
- pas de temps : $\Delta t = 4.1 \cdot 10^{-5}$ s ;
- $H_S = 1$ m, $H_R = 2$ m et $x_R = 20$ m.



sol herbeux

$$(R_S = 100 \text{ kN.s.m}^{-4}, q = \sqrt{10} \text{ et } \Omega = 0.5)$$



chaussée poreuse

$$(R_S = 10 \text{ kN.s.m}^{-4}, q = \sqrt{3.5} \text{ et } \Omega = 0.2)$$

JTA
10 juin 2009

Gwenaël
GUILLAUME

Contexte

Sommaire

Méthode TLM

Modélisation des

frontières

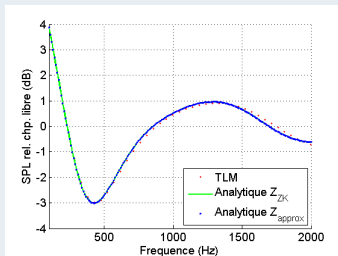
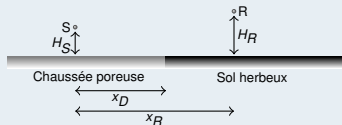
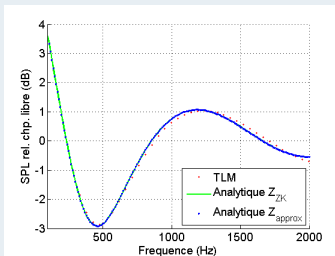
Condition
d'impédance

Conditions
absorbantes

Conclusion

Sol plan discontinu : modèle d'impédance de ZWIKKER et KOSTEN

- source sonore : impulsion gaussienne à $f=1500$ Hz ;
- discrétisation spatiale : $\Delta L = 2$ cm ;
- pas de temps : $\Delta t = 4.1 \cdot 10^{-5}$ s ;
- $H_S = 0.2$ m, $H_R = 1.5$ m et $x_R = 20$ m.

 $x_D = 1$ m $x_D = 2$ mJTA
10 juin 2009Gwenaël
GUILLAUME

Contexte

Sommaire

Méthode TLM

Modélisation des
frontièresCondition
d'impédanceConditions
absorbantes

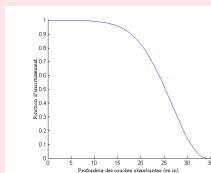
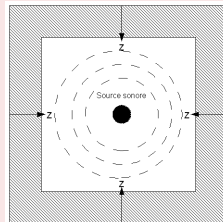
Conclusion

Couches absorbantes adaptées : modélisation d'un espace « infini »

- Introduction de couches absorbantes en amont des limites du domaine de calcul ;
- Application d'un facteur d'amortissement $F(z)$ croissant au fur et à mesure de la progression dans la couche absorbante

$$F(z) = 1 - e\left(\frac{-z^2}{B}\right), \quad 0 < F(z) \leq 1$$

où z est la distance dans la couche absorbante et B est une constante d'affaiblissement.



JTA
10 juin 2009

Gwenaël
GUILLAUME

Contexte

Sommaire

Méthode TLM

Modélisation des
frontières

Condition
d'impédance

Conditions
absorbantes

Conclusion

JTA
10 juin 2009Gwenaël
GUILLAUME

Contexte

Sommaire

Méthode TLM

Modélisation des
frontièresCondition
d'impédanceConditions
absorbantes

Conclusion

Couches absorbantes adaptées : application à la TLM

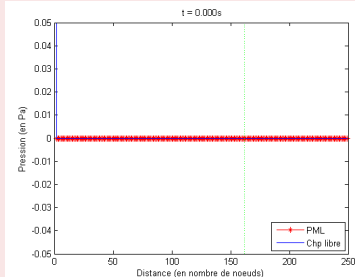
- Modification des lois de connexion :
cas du ciel

$$t+\Delta t l_{(i,j)}^1 = t S_{(i-1,j)}^2$$

$$t+\Delta t l_{(i,j)}^2 = t S_{(i+1,j)}^1$$

$$t+\Delta t l_{(i,j)}^3 = F_{(i,j-1)} \times t S_{(i,j-1)}^4$$

$$t+\Delta t l_{(i,j)}^4 = t S_{(i,j+1)}^3$$



JTA
10 juin 2009Gwenaël
GUILLAUME

Contexte

Sommaire

Méthode TLM

Modélisation des
frontières

Conclusion

Application
Perspectives

Méthode TLM

- Principe de la méthode TLM
- Propagation en milieu homogène et non-dissipatif
- Propagation en milieu inhomogène et dissipatif
- Analogie avec l'équation des ondes



Modélisation des frontières

- Condition d'impédance complexe
- Condition aux frontières absorbantes

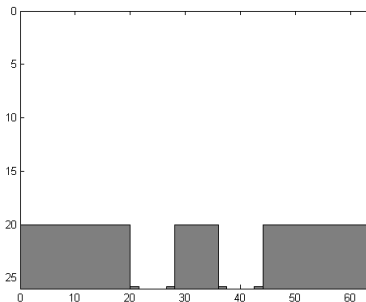


Conclusion

- Application
- Perspectives

Application à la modélisation de la propagation acoustique en milieu urbain

- façades et toits végétalisés ;
- sol : chaussée poreuse ;
- ciel et extrémités « ouvertes » du domaine : couches absorbantes adaptées ;
- source stationnaire à $H_S=0.5$ m ($f \equiv 3^{\text{e}}$ mode de résonance transversal)



JTA
10 juin 2009

Gwenaël
GUILLAUME

Contexte

Sommaire

Méthode TLM

Modélisation des
frontières

Conclusion

Application

Perspectives

JTA
10 juin 2009Gwenaël
GUILLAUME

Contexte

Sommaire

Méthode TLM

Modélisation des
frontières

Conclusion

Application

Perspectives

Perspectives pour la fin de thèse

- applications urbaines.

Perspectives du modèle

- parallélisation du code de calcul ;
- discrétisation spatiale par le biais d'un maillage tétraédrique ;
- couplage avec un modèle de trafic routier (sources mobiles).

JTA
10 juin 2009

Gwenaël
GUILLAUME

Contexte

Sommaire

Méthode TLM

Modélisation des
frontières

Conclusion

Application

Perspectives

Merci de votre attention